

# *Projet bibliographique*

## *Le Preheating.*

Benjamin Topper,  
Sous la supervision de J-P Uzan.  
Lundi 8 Juin 2009

---

---

# *Documents utilisés*

- ▣ Document principal « Toward the theory of reheating after inflation »

hep-ph/9704452 - L.Kofman, A.Linde. A.Starobinsky

- ▣ « Structure of Resonance in Preheating after Inflation »

hep-ph/9705347 - Patrick B. Greene, Lev Kofman, Andrei Linde, Alexei A. Starobinsky

- ▣ « On the Theory of Fermionic Preheating »

hep-ph/0003018 - Patrick B. Greene, Lev Kofman

---

---

# *Cadre général : l'inflation*

- Modèle standard du **Big Bang**: l'univers était chaud.
  - Mais une période d'**inflation**: univers **froid et vide**  
Anisotropies du FDC en accord avec les prédictions du modèle de l'inflation sur les fluctuations primordiales (cohérentes, Gaussiennes, adiabatiques, et approximativement invariante d'échelle), univers plat, horizon,....
  - Contradiction ?
- 
-

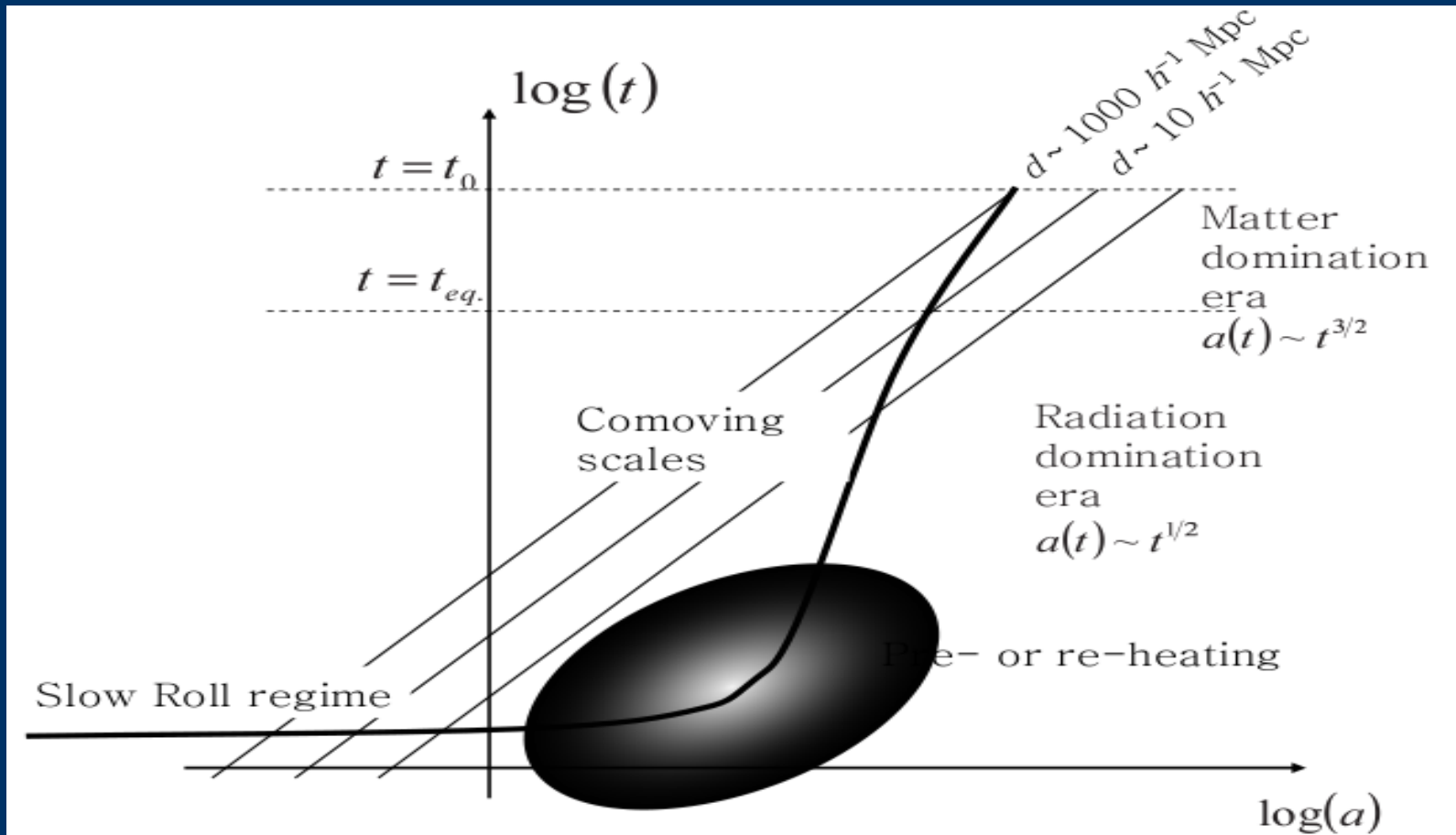
# *Cadre général : le reheating*

- Nécessité de raccordement: le **reheating**  
post-inflation ( $H \sim \Gamma$ )  
réchauffement lent et thermalisation ( $T_r$ )
  - Désintégrer l'inflaton dans toutes les particules du modèle standard.
  - Contrainte: couplage faible de l'inflaton aux champs = température faible de thermalisation
  - Problème: **inefficace**.
- 
-

# *Cadre général: le preheating*

- Nécessité d'un **preheating**  
post-inflation  
pre-reheating  
Désintégration en particules
  - Résonances paramétriques ; certains modes de l'inflaton se désintègrent **exponentiellement**: très efficace !
  - Modifie  $T_r$
  - Difficultés: univers en **expansion**, **rétroaction** des particules produites.
- 
-

# Cadre général III



Credits: Introduction à la Cosmologie  
(F. Bernardeau)

L'inflaton se désintègre en particules (preheating) qui se thermalisent (reheating)

# Preheating - Minkowski I

- Modèle d'inflation simple avec un potentiel d'interaction du type  $V=g^2\Phi^2\chi^2$
- A partir de l'équation d'évolution de chaque mode, on obtient une **équation de Mathieu**:

$$\chi_k'' + (A_k - 2q \cos 2z) \chi_k = 0.$$

$$A_k = k^2/m^2 + 2q, \quad q = g^2\Phi^2/4m^2, \quad z = mt.$$

- Solutions de la forme  $\chi(t) \sim \exp(\mu z)$
  - Correspondent à une **croissance exponentielle** du nombre d'occupation = **production de particules**
  - Diagramme de **stabilité**
- 
-

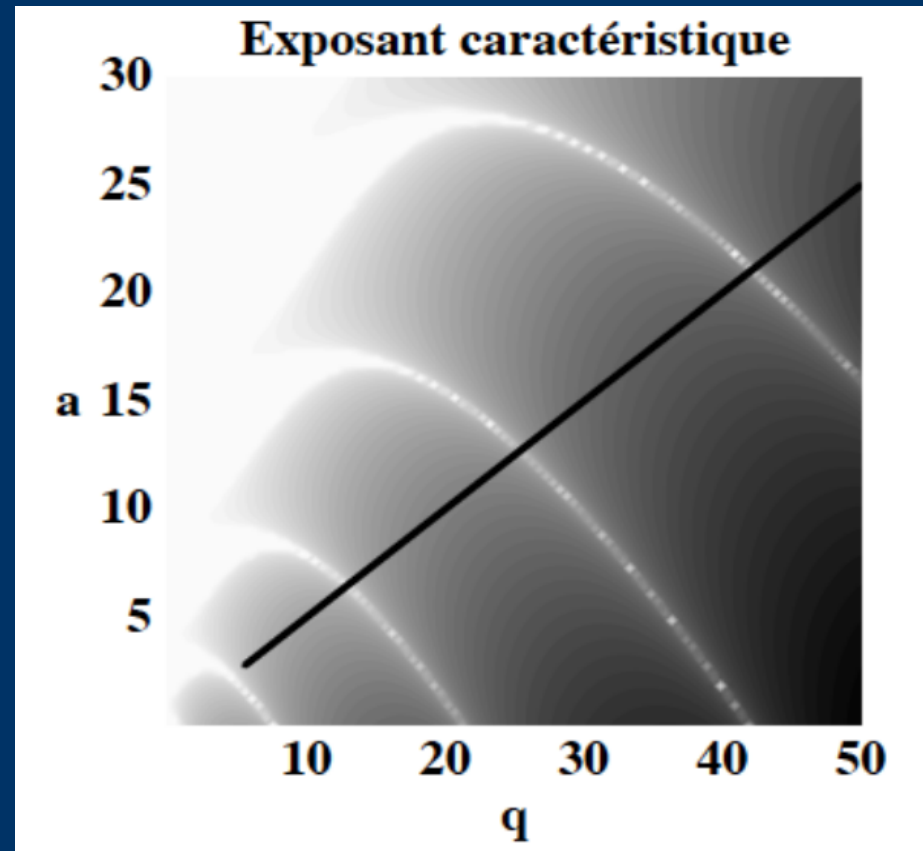
# Diagramme de stabilité

- Nombre d'occupation:

$$n_{\mathbf{k}} = \frac{1}{2\omega_{\mathbf{k}}} \left| \frac{d(a^{3/2}\chi_{\mathbf{k}})}{dt} \right|^2 + \frac{1}{2}\omega_{\mathbf{k}}(a^{3/2}\chi_{\mathbf{k}})^2 - \frac{1}{2}.$$

La ligne continue correspond à  $A=2q$ ; en gris les zones d'instabilité de l'équation de Mathieu

La résonance à lieu pour les modes  $k^2/m^2 \sim A-2q$





## *Preheating – Minkowski II*

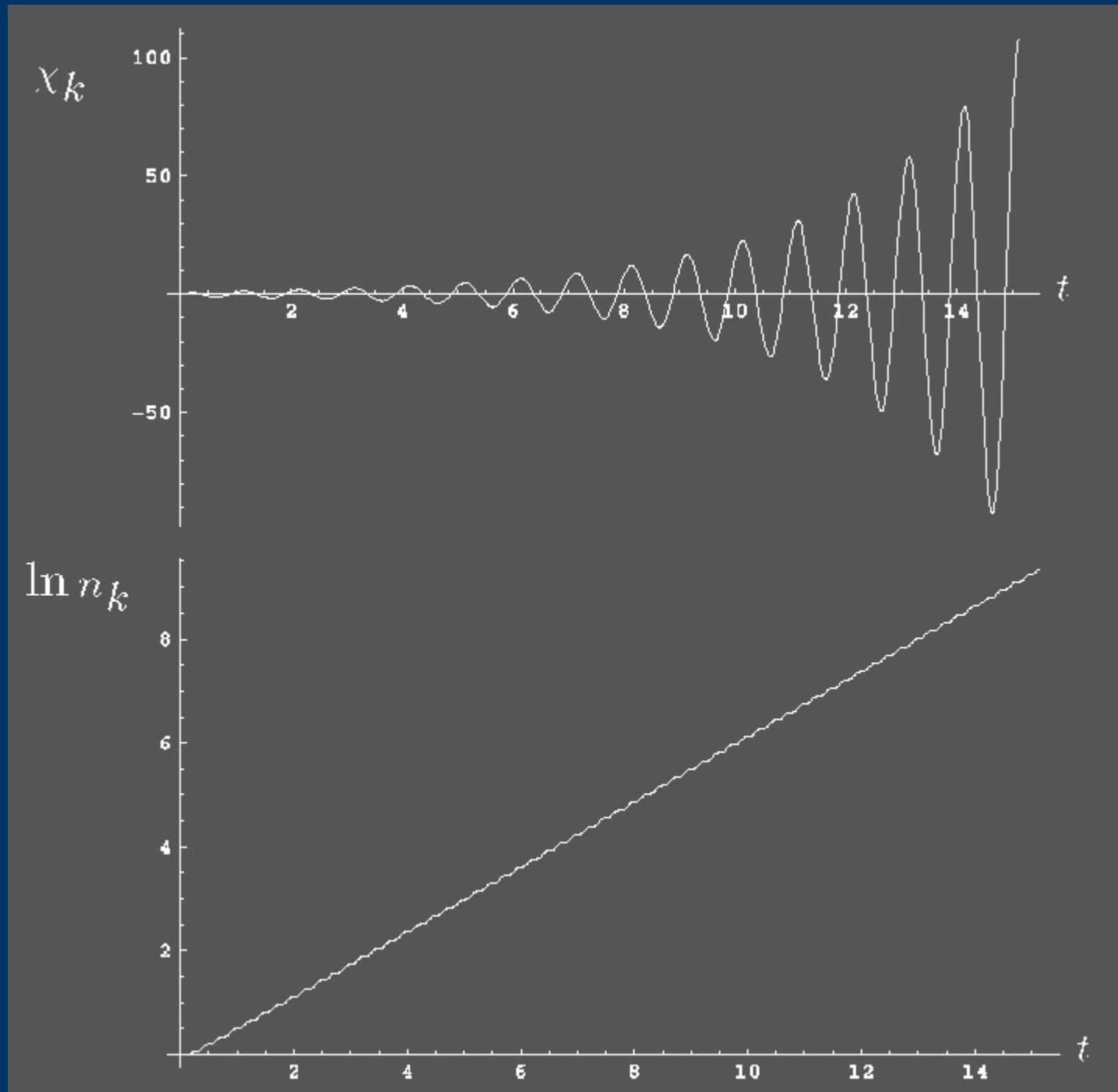
- Masse effective, fréquences des oscillations de  $\chi$

$$m_{\chi}(t) = g \phi(t)$$
$$\omega(t) = \sqrt{k^2 + g^2 \phi^2(t)}$$

- Dans le régime des **résonances étroites**, la production de particules est exponentielle.
- Dans le régime des **larges résonances** ( $q \gg 1$ ), on a production de particules par burst quand  $\Phi=0$ .

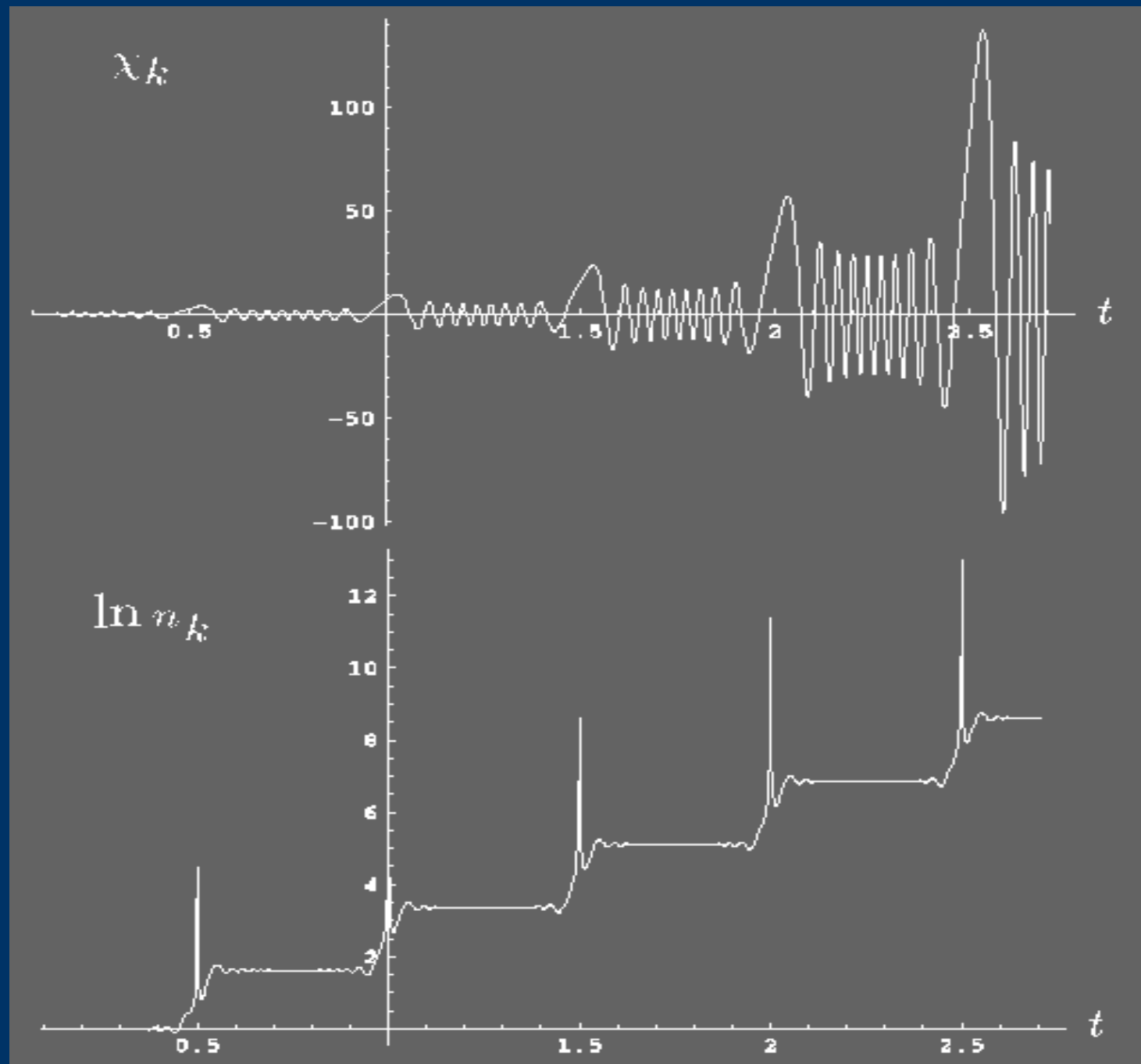
Résonance  
étroite:  
 $q \sim 0.1$

Production  
continue,  
résonances  
faibles devant  
l'expansion



Résonnance  
large:  
 $q \sim 200$

Production  
par burst



# Preheating - UE I

- Dans un univers en expansion, résonance que si  $q^2 m > H$

- Equation de Mathieu:  $\ddot{X}_k + \omega_k^2 X_k = 0$ ,

avec  $\omega_k^2 = \frac{k^2}{a^2(t)} + g^2 \Phi^2 \sin^2 mt$

- Le nombre d'occupation devient alors:

$$n_k = \frac{\omega_k}{2} \left( \frac{|\dot{X}_k|^2}{\omega_k^2} + |X_k|^2 \right) - \frac{1}{2}.$$

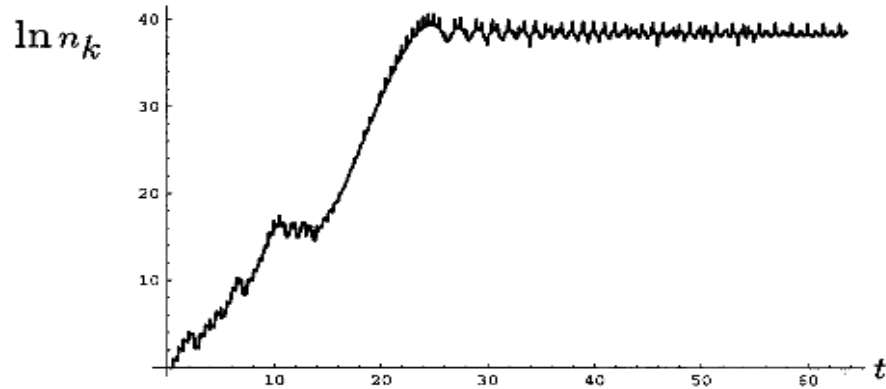
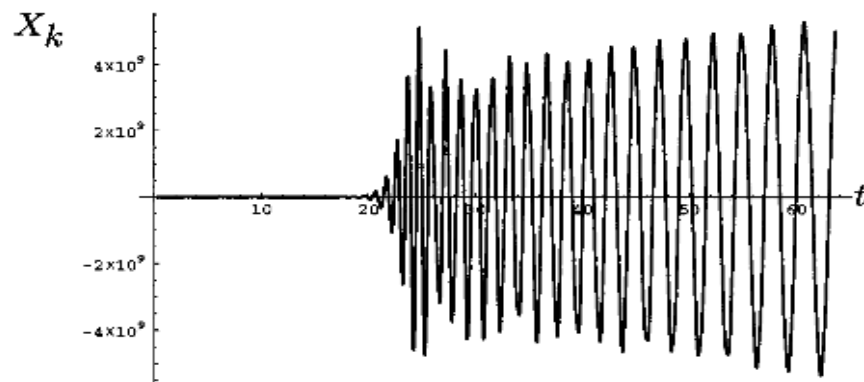
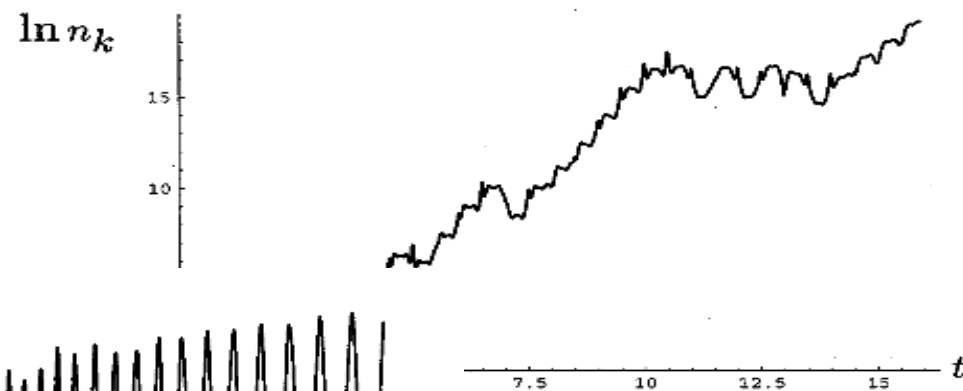
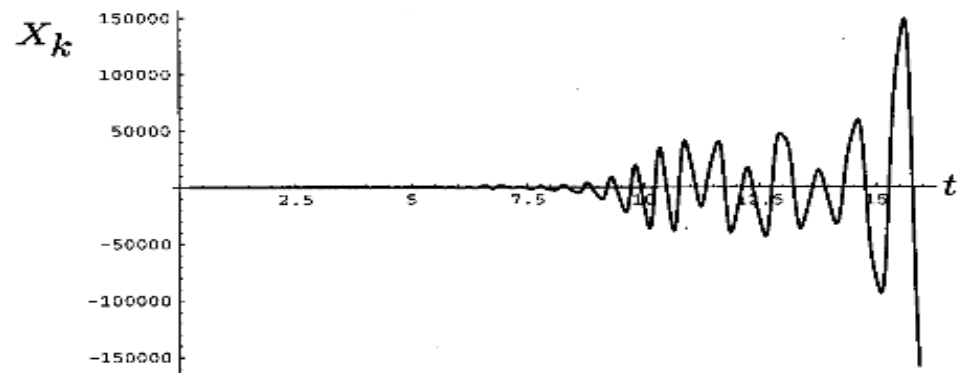
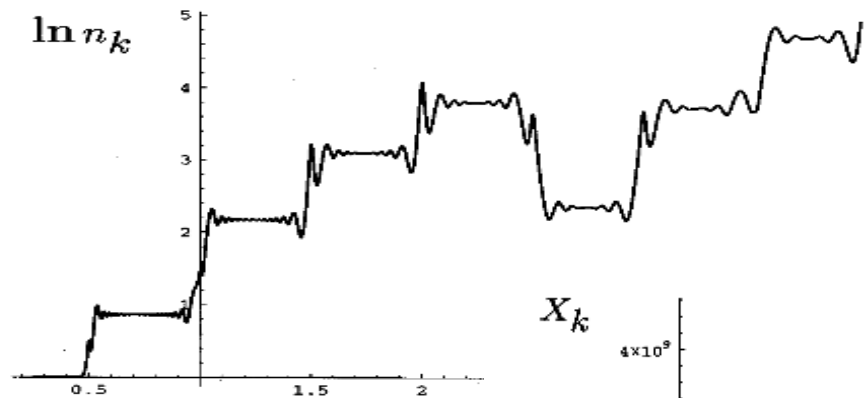
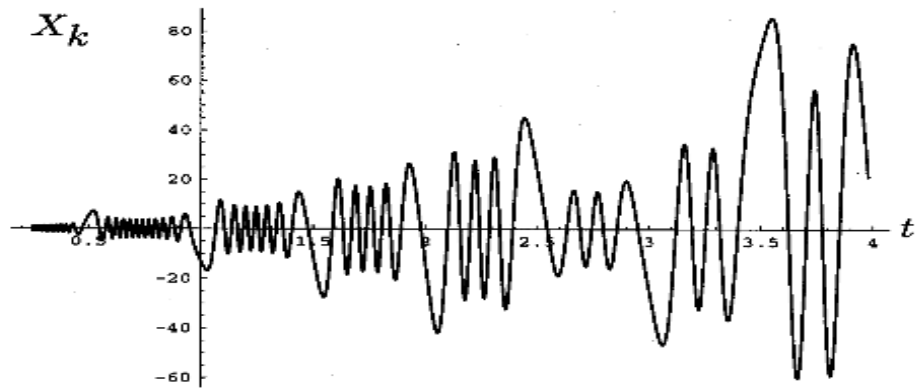
et peut décroître (effet quantique & hors équilibre).

---

---

## *Preheating - UE II*

- Si  $q \gg 1$  initialement, la résonance large dans un univers en expansion est stochastique.  
=> résonance large
  - L'univers croît donc  $q$  diminue  
=> résonance étroite
  - Fin de la résonance, nombre d'occupation constant.
  - Décorrélation entre les phases de  $\chi$  et  $\Phi=0$  contrairement au cas minkoswkien.
  - Indépendant de la forme du potentiel effectif pendant la phase de résonance stochastique
- 
-



# Preheating I

- Prise en compte des **résonances** et **rétroactions** dans l'équation de Mathieu:

$$\begin{aligned} \ddot{X}_k(t) + \left( \frac{k^2}{a^2} + g^2 \Phi^2 \sin^2 mt \right) X_k(t) \\ = - \int dt' X_k(t') \Pi_X(t, t'; \mathbf{k}), \end{aligned}$$

avec  $\Pi$  l'opérateur de polarisation.

- Utilisation de l'**approximation de Hartree**
  - Le preheating se déroule en **deux étapes**.
- 
-

# Preheating II

- Etape 1:  $n < m^2 \Phi / g$

On a alors:

$$n_\chi(t) = \frac{(gm\Phi_0)^{3/2}}{64\pi^2 a^3 \sqrt{\pi\mu m(t-t_0)}} e^{2\mu m(t-t_0)}$$

jusqu'à:

$$t_1 = \frac{5}{4\mu m} \ln \frac{15}{g}$$

Les fluctuations du champ  $\chi$  peuvent être très grandes ( $\sim 10^{16}$  GeV)

- Etape 2: les oscillations dépendent de la rétroaction des particules  $\chi$  sur  $\Phi$  et de la création de  $\Phi$  par le processus inverse  $\chi\chi \rightarrow \Phi\Phi \Rightarrow$  perte d'efficacité



# *Preheating et non gaussianité*

## Nécessite

- interactions qui violent le slow roll
- Perturbations adiabatiques après inflation

## Amplifiées par:

- Résonances (étroites)
  - Rétroactions
- 

# Conclusion

- A la fin du preheating, l'inflaton est toujours là (et est la composante principale de la densité d'énergie)
  - Comment finissent les résonances ? Rétroaction, modification des masses effectives,
  - Baryogénèse durant le reheating (Non-équilibre thermique) ?
- 
-

# Extra I

